

## استفاده از تئوری آنتروپی و آزمون گاما در تعیین متغیرهای ورودی برای تخمین تبخیر روزانه (مطالعه موردی: ایستگاههای سینوپتیک رشت، بندرانزلی و آستارا)

سید مصطفی بی‌آزار<sup>۱</sup>، محمدعلی قربانی<sup>۲\*</sup>، صابرہ دربندی<sup>۳</sup>

۱. دانشجوی دکتری مهندسی منابع آب، دانشکده کشاورزی، دانشگاه تبریز

۲. دانشیار گروه مهندسی منابع آب، دانشکده کشاورزی، دانشگاه تبریز

۳. استادیار گروه مهندسی منابع آب، دانشکده کشاورزی، دانشگاه تبریز

(تاریخ دریافت ۱۳۹۶/۰۶/۰۱؛ تاریخ تصویب ۱۳۹۶/۱۱/۱۵)

### چکیده

در این تحقیق قابلیت تئوری آنتروپی و آزمون گاما برای تعیین ورودی مدل‌های شبکه عصبی مصنوعی و ماشین بردار پشتیبان به منظور تخمین تبخیر ایستگاههای سینوپتیک رشت، آستارا و بندر انزلی در استان گیلان بررسی شده است. با توجه به نتایج پژوهش، برای ایستگاههای سینوپتیک رشت، آستارا و انزلی، تئوری آنتروپی وجود همه متغیرها را در مدل‌سازی مؤثر تشخیص داده است. آزمون گاما برای ایستگاه رشت دو متغیر رطوبت حداکثر و رطوبت متوسط، برای ایستگاه انزلی سه متغیر دمای حداقل، دمای متوسط و رطوبت متوسط و برای ایستگاه آستارا یک متغیر سرعت باد را از ترکیب بهینه خارج کرد. بنا بر نتایج، عملکرد هر دو مدل شبکه عصبی مصنوعی و ماشین بردار پشتیبان در هر دو بخش قابل قبول بوده است. در تعیین تک‌ورودی در ایستگاه رشت روش تئوری آنتروپی و در ایستگاه انزلی روش آزمون گاما بهتر عمل کرده‌اند. برای ایستگاه آستارا هر دو روش عملکرد مناسبی داشته‌اند. به طور کلی، با توجه به نتایج می‌توان گفت که تئوری آنتروپی نسبت به آزمون گاما عملکرد قوی‌تری داشته است.

**کلیدواژگان:** آزمون گاما، آنتروپی، استان گیلان، تبخیر روزانه، مدل تخمین.

کمبود فشار بخار اشبع، رطوبت نسبی و سرعت باد در ارتفاع دو متری در دوره آماری ۱۹۸۳-۲۰۰۵ از آزمون گاما استفاده کردند. ایشان برای مدل‌سازی تبخیر روزانه دریاچه از دو روش شبکه عصبی مصنوعی و سیستم استنتاجی عصبی-فازی طبیقی استفاده کردند. نتایج پژوهش آنها نشان داد بهترین ترکیب شامل پارامترهای کمبود فشار بخار اشبع، رطوبت نسبی و سرعت باد در ارتفاع دو متری است. همچنانی، روش شبکه عصبی مصنوعی برای پیش‌بینی تبخیر نسبت به مدل تجربی و سیستم استنتاج فازی-عصبی طبیقی کارایی بیشتری دارد. سورانی و همکارانش [۲] در مدل‌سازی پدیده بارش-رواناب برای انتخاب زیرساخت‌های مهم به منظور اعمال به مدل ترکیبی شبکه عصبی-موجکی از روش آنتروپی انتقال اطلاعات بهره گرفتند. نتایج پژوهش آنها نشان داد استفاده از روش آنتروپی انتقال اطلاعات نسبت به ابزارهای خطی دیگر سبب بهبود مدل‌سازی می‌شود. شریفی و همکارانش [۵] با استفاده از مدل‌های خطی و غیرخطی پیش‌بینی رواناب روزانه حوضه امامه را بررسی کردند. ایشان در مطالعه خود از آزمون گاما، انتخاب پیشرو و تحلیل عاملی برای انتخاب بهترین ترکیب ورودی استفاده کردند. نتایج پژوهش آنها نشان داد آزمون گاما عملکرد بهتری نسبت سه روش دیگر داشته است. از میان چهار روش شبکه عصبی مصنوعی، رگرسیون خطی محلی، سیستم استنتاج فازی-عصبی طبیقی و ماشین بردار پشتیبان، مدل ماشین بردار پشتیبان از سه روش دیگر عملکرد بهتری در تخمین رواناب در این حوضه داشته است. از مطالعات در زمینه تخمین تبخیر نیز می‌توان به موارد زیر اشاره کرد:

سیفی و همکارانش [۶] تحقیقی در زمینه معرفی و کاربرد حداقل مربعات ماشین بردار پشتیبان در برآورد تبخیر-تعرق مرجع و تحلیل عدم قطعیت نتایج آن در محدوده شهر کرمان انجام دادند. در این تحقیق از روش حداقل مربعات ماشین بردار پشتیبان مبتنی بر آزمون گاما با شبکه عصبی-تابع پایه شعاعی، خطی و چندجمله‌ای برای محاسبه تبخیر-تعرق لایسیمتری استفاده شده است. نتایج با دو مدل شبکه عصبی مصنوعی (ANN)، سیستم استنتاجی عصبی-فازی طبیقی و داده‌های لایسیمتری مقایسه شد. نتایج حداقل مربعات ماشین بردار پشتیبان بیان کننده برتری شبکه عصبی-تابع پایه شعاعی نسبت به سایر مدل‌ها بوده است. کیم و

## مقدمه

تبخیر از مهم‌ترین فرایندها در هواشناسی و هیدرولوژی به شمار می‌رود [۱]. در سال‌های اخیر هرچند از شبکه عصبی مصنوعی و ماشین بردار پشتیبان به طور گسترده در تخمین تبخیر استفاده شده است، ولی پیش‌پردازش داده‌های ورودی برای بهبود تخمین با استفاده از آزمون گاما و تئوری آنتروپی مورد توجه قرار نگرفته است. روش‌های پیش‌پردازش داده‌ها با شناسایی ورودی‌های مؤثر کاهش ابعاد ورودی‌های مدل و ازبین‌بردن روند نایستایی موجود در ورودی‌ها موجب افزایش کارایی مدل برای پیش‌بینی پدیده‌ها برای آینده می‌شود. آزمون گاما روشی برای یافتن ترکیبی مناسب از پارامترهای ورودی برای مدل‌سازی فرایندهای غیرخطی است. اساساً این آزمون به عنوان یک ابزار می‌تواند برای کمک به ساخت مدلی هموار از رفتار سیستمی آن پدیده براساس سری داده‌های اندازه‌گیری شده به کار رود. همچنانی، از آنجا که ارتباط بین بسیاری از پدیده‌های هیدرولوژیکی با یکدیگر توازن با پیچیدگی بوده و غیرخطی است، بنابراین روش تئوری آنتروپی، که ارتباط غیرخطی بین پارامترها را می‌سنجد، برای مشخص کردن قدرت ارتباط غیرخطی بین آنها توصیه می‌شود [۲].

از مطالعات صورت‌گرفته در زمینه آزمون گاما و تئوری آنتروپی در تعیین پارامترهای ورودی، می‌توان به موارد زیر اشاره کرد: احمدی و همکارانش [۳] روش‌های متعدد گزینش پارامترهای ورودی مانند آزمون گاما، نظریه آنتروپی، معیارهای AIC و BIC را روی پارامترهای مؤثر بر تابش خورشیدی در حوضه برو در انگلستان بررسی کردند. ایشان برای مقایسه روش‌های یادشده از دو روش مدل‌سازی غیرخطی به نام‌های رگرسیون خطی محلی شبکه عصبی مصنوعی استفاده کردند. آنها ضمن مقایسه روش‌های مختلف نتیجه گرفتند که روش آزمون گاما در مقایسه با سایر روش‌های انتخاب بهترین ترکیب از ورودی‌ها، عملکرد بهتری دارد. افزون بر این، آزمون گاما تعداد داده‌های مورد نیاز برای مدل‌سازی را به طور درخور توجیهی کاهش می‌دهد. مقدمیا و همکارانش [۴] برای یافتن بهترین ترکیب پارامترهای ورودی برای مدل‌سازی تبخیر روزانه دریاچه چاه نیمه واقع در شمال شرقی استان سیستان و بلوچستان، از بین پارامترهای هواشناسی شامل میانگین روزانه دمای هوا،

است. روش بهینه‌سازی گرادیان مزدوج برای واسنجی معادلات ریاضی برای زیاد کردن دقت تخمین تبخیر استفاده شده است. نتایج به دست آمده از معادلات ریاضی با عملکرد مدل نروفازی و مدل درختی M5 مقایسه شد. نتایج پژوهش آنها نشان داد مدل‌های ریاضی که توسط روش گرادیان مزدوج بهینه شده بودند، عملکرد بهتری نسبت به مدل‌های درختی M5 و مدل نروفازی داشته‌اند.

هدف از انجام این تحقیق، ارزیابی عملکرد روش‌های آزمون گاما و تئوری آنتروپی در انتخاب متغیرهای ورودی برای تخمین تبخیر با استفاده از مدل‌های ماشین بردار پشتیبان و شبکه عصبی مصنوعی در ایستگاه‌های سینوپتیک رشت، آستانه و بندر انزلی است که در خط ساحلی استان گیلان واقع شده‌اند.

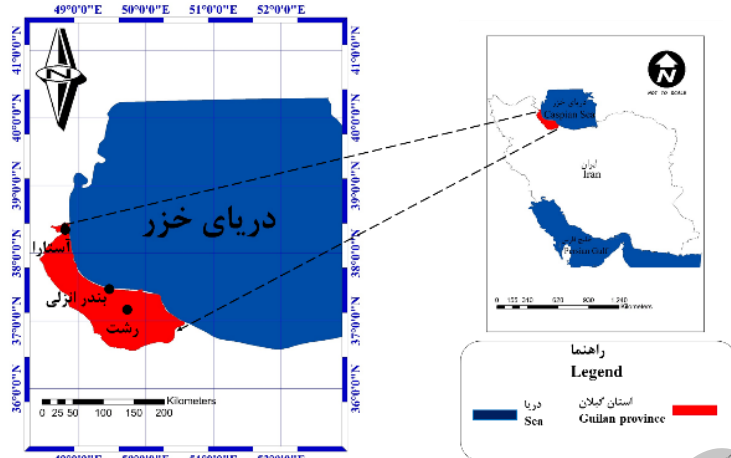
### مواد و روش‌ها

#### منطقه مطالعه شده و داده‌های استفاده شده

استان گیلان به مرکزیت رشت در شمال کشور قرار گرفته است و از شمال به دریای خزر، از شرق به استان مازندران، از جنوب به رشته‌کوه‌های البرز و استان‌های زنجان و قزوین و از غرب به استان اردبیل محدود است. توزیع ناهمگون نزولات جوئی و حجم جریانات سطحی در طول سال و از طرفی تأثیر آب در کشاورزی منطقه به خصوص تولید محصول استراتژی برنج ضرورت بررسی و مطالعه سیستماتیک منابع آب اعم از سطحی و زیرزمینی را ایجاد کرده است. متوسط بارندگی استان گیلان ۱۱۰۰ میلی‌متر و میانگین حجم بارش ۱۵۰۲۷ میلیون مترمکعب است که از حجم یادشده میزان ۷۸۸۷ میلیون مترمکعب جز منابع غیرقابل دسترس (تبخیر و تعرق) و حجمی معادل ۷۱۴۰ میلیون مترمکعب قابل دسترس و تجدیدپذیر است. در این مطالعه از داده‌های سه ایستگاه سینوپتیک رشت، آستانه و انزلی، که واقع در مناطق مرکزی استان گیلان و نوار ساحلی دریای خزر هستند، استفاده شده است (شکل ۱). طول دوره آماری داده‌ها برای ایستگاه سینوپتیک رشت، آستانه و انزلی از سال ۱۳۸۳ تا سال ۱۳۹۳ است. داده‌های گرفته شده شامل تبخیر، سرعت باد در ارتفاع دو متري، دما (حداقل، حداکثر و متوسط)، رطوبت (حداقل، حداکثر و متوسط)، ساعت آفتابی و بارندگی بوده است.

همکارانش [۷] تبخیر روزانه را با استفاده از شبکه عصبی پرسپترون چندلایه و شبکه‌های عصبی همبستگی آبشاری و بر اساس دمای هوا، تابش خورشیدی، سرعت باد، رطوبت نسبی و فشار سطح دریا در چهار ایستگاه هواشناسی جمهوری کره مدل‌سازی کردند. نتایج پژوهش آنها نشان داد شبکه عصبی مصنوعی پرسپترون چندلایه عملکرد بهتری داشته است. گویا و همکارانش [۸] تبخیر روزانه حوضه کارسو در هندوستان را با استفاده از مدل‌های شبکه عصبی مصنوعی، حداقل مربعات رگرسیون بردار پشتیبان، منطق فازی و سیستم استنتاجی عصبی- فازی تطبیقی مدل‌سازی کردند. از آزمون گاما برای انتخاب پارامترهای مؤثر بارندگی، دمای حداقل و حداکثر، رطوبتی نسبی حداکثر و حداقل و ساعت‌های آفتابی استفاده شد. نتایج پژوهش آنها نشان داد مدل حداقل مربعات ماشین بردار پشتیبان و منطق فازی عملکرد بهتری نسبت به روش‌های دیگر داشته‌اند. تزال و بویکلدیز [۹] با استفاده از ماشین بردار پشتیبان و شبکه عصبی مصنوعی تبخیر ماهنه را در بهسیر تخمین زدند. در این تحقیق از شبکه‌های عصبی مصنوعی پرسپترون چندلایه، تابع پایه شعاعی<sup>۱</sup> و ماشین بردار پشتیبان استفاده شده است. داده‌های استفاده شده شامل رطوبت نسبی، سرعت باد و بارندگی بوده است. نتایج پژوهش آنها نشان داد شبکه عصبی مصنوعی پرسپترون چندلایه عملکرد بهتری نسبت به ماشین بردار پشتیبان داشته است. کیشی [۱۰] تبخیر از تشت را با استفاده از مدل‌های حداقل مربعات ماشین بردار پشتیبان، رگرسیون چندگانه انتطباقی و مدل درختی M5 تخمین زد. نتایج پژوهش ایشان بیان کننده دقت زیاد روش حداقل مربعات ماشین بردار پشتیبان است. کیشی و همکارانش [۱۱] تبخیر روزانه از تشت در آنکارا و پولاتی در ترکیه را با چند مدل هوشمند مدل‌سازی کردند. نتایج پژوهش آنها نشان داد عملکرد مدل شبکه عصبی مصنوعی از سایر مدل‌ها بهتر بوده است. کشتکار و همکارانش [۱۲] تبخیر روزانه را با استفاده از روش‌های غیرخطی ریاضی برآسانس روش گرادیان مزدوج مدل‌سازی کردند. در این تحقیق با استفاده از تحلیل رگرسیون ورودی ترتیب متغیرهای ورودی به ترتیب دمای هوا، رطوبت نسبی، سرعت باد، و ساعت آفتابی برای دو ایستگاه مطالعاتی چاه نیمة زابل و ایرانشهر پیشنهاد شده

1. Radial Basis Function Neural Network



شکل ۱. منطقه مطالعه شده

آزمون گاما بر مبنای مجموعه  $N[i, k]$  است.

به عنوان  $k$  امین نزدیکترین همسایگی‌ها برای بردار مشاهداتی ورودی  $x_i$  تعریف شده به طوری که  $(1 \leq i \leq M)$  و  $(1 \leq k \leq p)$  است.  $p$  حداقل تعداد همسایگی‌ها است که معمولاً بین ۱۰ تا ۵۰ در نظر گرفته می‌شود [۱۴]. به منظور به دست آوردن مقدار آماره گاما ( $\Gamma$ ) ابتدا مقدار  $(\delta_M(k))$  با توجه به داده‌های ورودی به صورت رابطه ۳ محاسبه می‌شود.

$$\delta_M(k) = \frac{1}{M} \sum_{i=1}^M |x_{N[i, k]} - x_i|, \quad 1 \leq k \leq p \quad (3)$$

که در آن  $|.....|$  به عنوان فاصله اقلیدسی بردار  $x_{N[i, k]}$  از همسایگی‌های آن است. همچنین، مقدار آماره گاما کوچک  $\gamma_M(k)$  با استفاده از داده‌های خروجی به صورت رابطه ۴ بدست می‌آید:

$$\gamma_M(k) = \frac{1}{rM} \sum_{i=1}^M |y_{N[i, k]} - y_i|^r, \quad 1 \leq k \leq p \quad (4)$$

که در آن  $y_{N[i, k]}$  مقدار خروجی نظری  $k$  امین نزدیکترین همسایگی برای بردار  $x_i$  است. به این ترتیب،  $p$  مقدار برای  $(\delta_M(k))$  و  $p$  مقدار برای  $(\gamma_M(k))$  به دست آورده می‌شود. سپس، بین  $p$  زوج مرتب  $\{\delta_M(k), \gamma_M(k)\}$  رابطه رگرسیونی خطی ساده به صورت رابطه ۵ برقرار خواهد شد، طوری که در آن  $\delta$  و  $\gamma$  به ترتیب به عنوان متغیرهای مستقل و وابسته در نظر گرفته شده است.

$$\gamma = A \delta + \Gamma \quad (5)$$

### آزمون گاما

آزمون گاما یک روش غیرخطی است که نتایج آن صرف نظر از روش‌های خاص برای مدل‌سازی به کار برده می‌شود [۱۳]. فرض می‌شود مجموعه داده‌های مشاهداتی به صورت رابطه ۱ است.

$$\{(x_i - y_i)\}, \quad 1 \leq i \leq M \quad (1)$$

که در آن  $x_i$  بردار مشاهداتی ورودی (مانند رواناب، بارش، دمای هوای تأخیرهای مختلف، تبخیر و هر متغیر مؤثر دیگر)،  $y_i$  خروجی مشاهداتی (مانند میانگین دبی رواناب روزانه) و  $M$  تعداد کل مشاهدات است.

از بردار  $x_i$  (در فضای  $m$  بعدی) برای مدل‌سازی  $y_i$  (در فضای  $R$ ) استفاده می‌شود. بنابراین، با توجه به فرض یادشده رابطه بین ورودی و خروجی به صورت رابطه ۲ در نظر گرفته می‌شود.

$$y = f(x) + r \quad (2)$$

که در آن  $f(x)$  یک تابع هموار و  $r$  متغیر تصادفی نشان‌دهنده خطأ است. همچنین، فرض شده است میانگین توزیعی که  $r$  از آن پیروی کرده، صفر و واریانس خطأ  $Var(r)$  کران‌دار است. به این ترتیب، مدل نشان داده شده با رابطه ۲ به مدلی هموار با مشتق‌ات جزئی مرتبه اول محدود می‌شود و آماره گاما ( $\Gamma$ )، واریانس بخشی از داده‌ها که تابع  $(x)$  قادر به توجیه آن نیست را نشان می‌دهد.

برای بردار ورودی  $x_i$  مجموعه  $[N[i, k]]$  به نام مجموعه نزدیکترین همسایگی است. پایه و اساس

شانون و ویبور [۱۶] در سال ۱۹۴۹ از یک متغیر تصادفی گسسته  $x$  اولین آنتروپی مرزی را به نام  $H(x)$  مشخص کردند.

$$H(x) = -K \sum_{i=1}^n P(x_i) \log P(x_i) \quad (7)$$

مقدار پارامتر  $K=1$  خواهد بود، به شرطی که مقدار لگاریتم  $H(x)$  بر پایه عدد نپر (e) بیان شود.  $n$  بیان کننده تعداد وقایع با احتمال  $p(x_i)$  ( $i=1, \dots, N$ ) است.

آنtronپی مجموع دو متغیر تصادفی مستقل  $x$  و  $y$  از مجموع میزان آنتروپی مرزی دو متغیر به دست می‌آید.

$$H(x, y) = H(x) + H(y) \quad (8)$$

وقتی که دو متغیر تصادفی  $x$  و  $y$  وابسته باشند، مقدار آنتروپی مشترک کمتر از مقدار آنتروپی مجموع رابطه ۹ می‌شود.

آنtronپی انتقال اطلاعات نوعی دیگر از آنتروپی است که ارتباط متقابل بین  $x$  و  $y$  را مشخص می‌کند. که با تفاضل بین آنتروپی مجموع و آنتروپی مشترک از دو متغیر وابسته  $x$  و  $y$  به دست می‌آید.

$$T(x, y) = H(x) + H(y) - H(x, y) \quad (9)$$

$$T(x, y) = H(x) - H(x|y) = H(y) - H(y|x) \quad (10)$$

که در آن  $H(x|y)$  بیان کننده آنتروپی شرطی است. آنتروپی شرطی  $x$  به شرط  $y$  بیان کننده عدم قطعیت باقیمانده در  $x$  به شرط معلوم بودن  $y$  می‌باشد و به عکس.

با توجه به توضیحات یادشده می‌توان محاسبات آنتروپی را با  $M$  متغیر تعمیم داد [۱۷] آنتروپی مجموع برای متغیر مستقل  $X_m$  ( $m=1, \dots, M$ ) برابر است با:

$$H(x_1, x_2, \dots, x_M) = \sum_{m=1}^M H(x_m) \quad (11)$$

اگر متغیرها وابسته باشند، آنتروپی مشترک آنها از رابطه ۱۲ محاسبه می‌شود.

$$H(x_1, x_2, \dots, x_M) = \quad (12)$$

$$H(x_1) + \sum_{m=1}^M H(x_m | x_1, \dots, x_{m-1})$$

مقدار آماره  $\Gamma$  در واقع عرض از مبدأ خط رگرسیون فوق است. A شب خط رگرسیون است که نشان‌دهنده پیچیدگی مدلی است و از روی داده‌های مشاهداتی ایجاد می‌شود. متغیر دیگری که معمولاً در آزمون گاما به کار برده می‌شود، متغیر بدون بعد  $V_{ratio}$  نام دارد که مقدار آن بین صفر و یک است و مقدار آن از رابطه ۶ محاسبه می‌شود [۱۵].

$$V_{ratio} = \frac{\Gamma}{\sigma^2(y)} \quad (6)$$

که در آن  $\sigma^2(y)$  واریانس داده‌های مشاهداتی است. هرچه مقدار  $V_{ratio}$  به صفر نزدیک‌تر باشد، ترکیب انتخابی برای مدل‌سازی مناسب‌تر است. ثابت شده است که اگر این مقدار از یک کم شود، مقدار ضریب تبیین مدل به دست می‌آید.

### تئوری آنتروپی

تعریف آنتروپی مشتق شده از تئوری اطلاعات است، که یک سری از ساختارهای آماری از سری‌های عددی، علامت‌ها یا نمادها که بین سیگنال‌ها ارتباط برقرار می‌کند را تحلیل می‌کند. پایه اصلی تئوری اطلاعات توسط شانون و ویبور در سال ۱۹۴۸ مطرح شد. طبق نظریه شانون، اطلاعات، به دست آمده از عدم قطعیت‌های موجود در هر واقعه است. شانون در سال ۱۹۴۸ نشان داد وقایع با احتمال وقوع زیاد اطلاعات کمتری در اختیار می‌گذارند و به عکس هر چقدر احتمال وقوع یک رخداد کمتر باشد، اطلاعات حاصل از آن بیشتر است. با به دست آوردن اطلاعات جدید، در واقع عدم قطعیت کاهش داده شده است و ارزش اطلاعات جدید برابر با مقداری است که از عدم قطعیت کاسته شده است. در نتیجه، عدم قطعیت و اطلاعات پارامترهای وابسته به هم هستند. به بیان دیگر، از تئوری آنتروپی می‌توان به عنوان شاخصی برای کمی کردن میزان ناآگاهی و دانش نسبت به مشخصات یک سامانه، استفاده کرد.

در کل، برای کمی کردن محتوای اطلاعات چهار نوع آنتروپی معرفی شده است. آنتروپی مرزی، آنتروپی مشترک، آنتروپی شرطی و آنتروپی انتقال اطلاعات. در این تحقیق از آنتروپی انتقال اطلاعات استفاده شده است که به شرح مختصری از آن می‌پردازیم.

در معادله ۱۵،  $\bar{\alpha}_i$  میانگین ضرایب لاغرانژ است. محاسبه  $(x)\phi$  در فضای مشخصه آن ممکن است بسیار پیچیده باشد. برای حل این مشکل روند معمول در مدل ماشین بردار پشتیبان انتخاب یک تابع کرنل است. با توجه به اینکه در ماشین بردار پشتیبان معمولاً از تابع کرنل پایه شعاعی استفاده می‌شود، در تحقیق حاضر نیز از این تابع استفاده شده است. فرمول کرنل پایه شعاعی به صورت رابطه ۱۶ آورده شده است [۲۱]

$$k(x, x_i) = \exp\left(-\|x - x_i\|^2 / \sigma^2\right) \quad (16)$$

در خور یادآوری است که فرایند محاسبات ماشین بردار پشتیبان، بر اساس کدنویسی در محیط متلب انجام و پارامترهای تابع کرنل از طریق سعی و خطا بهینه شدند.

#### معیارهای ارزیابی

با استفاده از روش‌های مختلفی می‌توان عملکرد مدل‌ها را ارزیابی و مقایسه کرد. یکی از این روش‌ها استفاده از معیارهای ارزیابی است. از جمله معیارهای ارزیابی پرکاربرد در علوم مهندسی آب، ضرایب همبستگی (CC)، ریشه میانگین مربعات خطأ (RMSE) و معیار نش-ساتکلیف (NS) هستند که در روابط ۱۷-۱۹ آورده شده‌اند. دقیق‌ترین مدل با توجه به این معیارها، مدلی خواهد بود که مقدار این سه معیار برای آن بهترتبیب، نزدیک به یک، صفر و یک باشد.

$$CC = \frac{\left( \sum_{i=1}^N (x_i - \bar{x})(y_i - \bar{y}) \right)^2}{\sum_{i=1}^N (x_i - \bar{x})^2 \sum_{i=1}^N (y_i - \bar{y})^2} \quad (17)$$

$$RMSE = \sqrt{\frac{1}{N} \sum_{i=1}^N (x_i - y_i)^2} \quad (18)$$

$$NS = 1 - \frac{\sum_{i=1}^N (x_i - \bar{x})^2}{\sum_{i=1}^N (y_i - \bar{y})^2} \quad (19)$$

در روابط یادشده  $x_i$  و  $\bar{x}$  بهترتبیب، مقادیر مشاهداتی جریان و میانگین مقادیر مشاهداتی،  $y_i$  مقادیر محاسباتی جریان،  $\bar{y}$  میانگین مقادیر محاسباتی و  $N$  تعداد داده‌های است. مقدار شاخص NS از یک تا منفی بی‌نهایت تغییر می‌کند. بازه‌های NS از ۰/۷۵-۰/۳۶ و کمتر از ۰/۳۶ برای مقدار این شاخص در یک شبیه‌سازی بهترتبیب نشان‌دهنده عملکرد بسیار خوب، رضایت‌بخش و ضعیف مدل استفاده شده هستند [۲۲]

#### شبکه عصبی مصنوعی

از اوایل دهه ۱۹۹۰ تا کنون، این شبکه‌های عصبی مصنوعی در زمینه هیدرولوژی نیز به طور موفقیت‌آمیزی به کار گرفته شده‌اند [۱۸]. حدود ۹۰ درصد شبکه‌هایی که در مسائل هیدرولوژی کاربرد دارد، شبکه‌های پیشرو هستند [۱۹]. معماری معمول این شبکه متشکل از سه لایه ورودی، پنهانی و خروجی است. تعداد نورون‌های موجود در لایه ورودی و خروجی بستگی به نوع مسئله دارد، ولی تعداد گره‌های لایه پنهان با سعی و خطا به دست می‌آید [۲۰].

در خور یادآوری است که در تحقیق حاضر از شبکه عصبی پیشرو با آموزش لوابرگ-مارکوات و تعداد نورون‌های یک تا ۲۰ برای لایه پنهان شبکه استفاده شد تا از این طریق تأثیر ساختار مختلف شبکه بر عملکرد آن در تخمین تبخیر را ارزیابی شود. از آنجا که متدالو ترین نوع توابع محرک تابع تائزانس سیگموئید است، در مطالعه حاضر از آن برای نگاشت اطلاعات از لایه ورودی به لایه پنهان و همچنین برای نگاشت اطلاعات از لایه پنهان به لایه خروجی استفاده شد.

#### ماشین بردار پشتیبان

ماشین بردار پشتیبان یک سیستم یادگیری کارآمد بر مبنای تئوری بهینه‌سازی مقید است که از اصل استقرای کمینه‌سازی خطای ساختاری استفاده می‌کند و به یک جواب بهینه کلی منجر می‌شود. در مدل ماشین بردار پشتیبان تابعی مرتبط با متغیر وابسته  $y$  که خود تابعی از چند متغیر مستقل  $x$  است، برآورد می‌شود. مشابه سایر مسائل رگرسیونی فرض می‌شود رابطه میان متغیرهای مستقل و وابسته با تابع جبری مانند  $f(x)$  به علاوه مقداری اغتشاش (خطای مجاز) مشخص شود.

$$f(x) = W^T \cdot \phi(x) + b \quad (13)$$

$$y = f(x) + noise \quad (14)$$

چنانچه  $W$  بردار ضرایب،  $b$  ثابت مشخصه‌های تابع رگرسیونی و  $\phi(x)$  نیز تابع کرنل باشد، آن‌گاه هدف پیداکردن فرم تابعی برای  $f(x)$  است. تابع رگرسیون بردار پشتیبان را می‌توان به صورت رابطه ۱۵ بازنویسی کرد:

$$f(x) = \sum_{i=1}^N \bar{\alpha}_i \cdot \phi(x_i)^T \cdot \phi(x) + b \quad (15)$$

با توجه به جدول ۲ مشاهده می شود که در هر سه ایستگاه ترکیبی که در آن پارامتر ساعت های آفتایی حذف شده است، بدترین ترکیب است. بهترین ترکیب برای ایستگاه انزلی، آستارا و رشت به ترتیب ترکیباتی هستند که از آنها رطوبت متوسط، سرعت باد و رطوبت حداکثر حذف شده اند.

#### تئوری آنتروپی

با توجه به توضیحات بخش آنتروپی، در جدول های ۲-۴ نتایج مقادیر آنتروپی انتقال اطلاعات برای متغیرهای ورودی مختلف در تخمین تبخیر در سه ایستگاه رشت، آستارا و انزلی آورده شده است. در این ایستگاهها داده های ورودی شامل دمای حداکثر، حداقل و متوسط، رطوبت حداکثر، حداقل و متوسط، بارندگی، سرعت باد و ساعت های آفتایی است. در جدول های یادشده ابتدا مقدار آنتروپی برای کل داده ها محاسبه شد و سپس متغیرها تک به تک حذف شده و مقادیر آنتروپی هر ترکیب دوباره محاسبه شد. بیشترین مقدار برای آنتروپی انتقال اطلاعات در هر سه ایستگاه هنگامی مشاهده می شود که همه ورودی های در دسترس در ترکیب وجود داشته باشند (ترکیب ۱).

برای ایستگاه رشت (جدول ۲) ترکیب ۸ با حذف متغیر بارندگی از مدل با مقدار آنتروپی ۵/۸۲۳ به عنوان بهترین ترکیب بعد از ترکیب نخست شناخته شده است. ترکیب ۴ نیز با حذف متغیر دمای متوسط به عنوان بدترین ترکیب با مقدار آنتروپی ۴/۲۲۸ بوده است.

#### نتایج

##### آزمون گاما

برای تعیین پارامترهای ورودی بهینه به منظور تخمین تبخیر روزانه در این بخش از آزمون گاما استفاده شد. ابتدا، آزمون گاما برای کل داده ها انجام گرفت (ردیف ۱) و سپس، این آزمون براساس حذف هر یک از متغیرها از کل نه متغیر دیگر صورت گرفته است (ردیف های ۲ تا ۱۰). نتایج در جدول ۲ ارائه شد. با توجه به جدول ۲ برای تخمین تبخیر در ایستگاه سینوپتیک رشت دو پارامتر رطوبت حداکثر و رطوبت متوسط دارای مقدار آماره گامای کمتر از ترکیب اول هستند. بنابراین، به غیر از این دو پارامتر از بقیه پارامترها می توان برای تخمین تبخیر در این ایستگاه استفاده کرد. برای ایستگاه آستارا به جز پارامتر سرعت باد از باقی پارامترها که با حذف از ترکیب، مقدار آماره گامای آنها بیشتر از ترکیب اول شده را می توان برای برآورد تبخیر در این ایستگاه استفاده کرد. در ایستگاه سینوپتیک انزلی با حذف پارامترهای دمای حداکثر، رطوبت حداقل، بارندگی، سرعت باد و ساعت های آفتایی مقدار پارامتر گاما نسبت به حالت اول بیشتر شده است. در این ایستگاه با حذف پارامترهای دمای حداقل، دمای متوسط و رطوبت متوسط مقدار آماره گاما بیشتر از مقدار گامای ترکیب اول نشده است. پس برای تخمین تبخیر در این ایستگاه می توان از پارامترهای ساعت های آفتایی، سرعت باد، بارندگی، رطوبت حداقل، رطوبت حداکثر و دمای حداکثر استفاده کرد.

جدول ۱. نتایج آزمون گاما برای ایستگاه های سینوپتیک مطالعه شده

متغیر حذف شده	شماره ترکیب	گاما	رشت نسبت	گاما	آستارا نسبت	گاما	بندر انزلی نسبت
-	۱	۰/۰۵۶۳۶	۰/۲۲۵۴	۰/۰۳۹۷۷۱	۰/۱۵۹۰۸	۰/۰۴۰۰۱	۰/۱۶۰۰۵
دمای حداکثر	۲	۰/۰۶۰۲۲	۰/۲۴۰۹	۰/۰۴۰۲۱۳	۰/۱۶۰۸۵	۰/۰۴۰۱۴	۰/۱۶۰۵۸
دمای حداقل	۳	۰/۰۵۸۵۸	۰/۲۳۴۳	۰/۰۴۱۵۵۸	۰/۱۶۶۲۳	۰/۰۳۸۸۳	۰/۱۵۵۳۰
دمای متوسط	۴	۰/۰۶۰۳۴	۰/۲۴۱۴	۰/۰۴۱۱۲۹	۰/۱۶۴۵۲	۰/۰۳۹۵۶	۰/۱۵۸۲۳
رطوبت حداکثر	۵	۰/۰۵۴۳۴	۰/۲۱۷۴	۰/۰۴۳۲۰۸	۰/۱۷۲۸۳	۰/۰۴۰۰۶	۰/۱۶۰۲۴
رطوبت حداقل	۶	۰/۰۵۸۰۱	۰/۲۳۲۰	۰/۰۴۱۴۷۲	۰/۱۶۵۸۹	۰/۰۴۰۵۲	۰/۱۶۲۰۹
رطوبت متوسط	۷	۰/۰۵۵۷۲	۰/۲۲۲۹	۰/۰۴۰۹۷۵	۰/۱۶۳۹۰۰	۰/۰۳۸۴۱	۰/۱۵۳۶۵
بارندگی	۸	۰/۰۵۸۰۹	۰/۲۳۲۴	۰/۰۴۱۷۱	۰/۱۶۶۸۴	۰/۰۴۱۶۶	۰/۱۶۶۶۴
سرعت باد	۹	۰/۰۵۹۱۹	۰/۲۳۶۸	۰/۰۳۹۵۶	۰/۱۵۸۲۴	۰/۰۴۳۳۴	۰/۱۷۳۳۶
ساعت های آفتایی	۱۰	۰/۰۶۵۸۵	۰/۲۳۶۴	۰/۰۴۵۱۵	۰/۱۸۰۶۰	۰/۰۴۶۹۶	۰/۱۸۷۸۳

جدول ۲. نتایج آزمون تئوری آنتروپی برای ایستگاه‌های سینوپتیک رشت

ایستگاه	شماره ترکیب	متغیر حذف شده	آنتروپی مرزی	آنتروپی مشترک	آنتروپی شرطی	آنتروپی انتقال اطلاعات
	۱	-	۱۴/۴۷۲	۸/۵۲۱	۵/۹۹۸	۵/۹۵۱
	۲	دماه حداکثر	۱۲/۳۵۳	۸/۰۶۲	۵/۵۳۹	۴/۲۹۲
	۳	دماه حداقل	۱۲/۵۲۸	۸/۰۷۹	۵/۵۵۶	۴/۴۴۹
	۴	دماه متوسط	۱۲/۴۰۴	۸/۱۴۶	۵/۶۲۳	۴/۲۲۸
رشت	۵	رطوبت حداکثر	۱۴/۲۹۵	۸/۴۸۹	۵/۹۶۶	۵/۸۰۶
	۶	رطوبت حداقل	۱۲/۵۵۳	۷/۸۳۸	۵/۳۱۵	۴/۷۱۵
	۷	رطوبت متوسط	۱۲/۱۳۱	۸/۱۷۸	۵/۶۵۵	۴/۹۵۳
	۸	بارندگی	۱۴/۲۳۵	۸/۴۱۲	۵/۸۸۹	۵/۸۲۲
	۹	سرعت باد	۱۳/۳۹۶	۷/۸۲۳	۵/۳۰۰	۵/۵۷۳
	۱۰	ساعت‌های آفتابی	۱۲/۳۵۶	۷/۴۵۰	۴/۹۲۸	۴/۹۰۶

حذف آن از ترکیب مقدار آنتروپی انتقال اطلاعات در ترکیب به صورت درخور توجهی تغییر نمی‌کند. همان طور که مشاهده می‌شود، با حذف متغیر بارندگی از ترکیب در هر سه ایستگاه مقدار آنتروپی انتقال اطلاعات در ترکیب نخست تغییر زیادی ندارد. بنابراین، می‌توان چنین گفت که بعد از ترکیب ۱، از ترکیب ۸ نیز در تخمین تبخیر در هر سه ایستگاه می‌توان استفاده کرد. بنابراین، در جدول ۵ سه ترکیب قرار گرفته است که به ترتیب برای هر ایستگاه شامل آنتروپی (EN1)، ترکیبی که همه متغیرها به عنوان ورودی انتخاب شده‌اند، آنتروپی (EN2)، ترکیبی که متغیر ورودی بارندگی از ورودی‌ها حذف شده است و ترکیب انتخابی آزمون گاما (GT) است.

در ایستگاه آستارا (جدول ۳) ترکیب ۸ با داشتن مقدار آنتروپی ۶/۶۲۴ به عنوان بهترین ترکیب بعد از ترکیب نخست با حذف متغیر بارندگی از ورودی مدل است. ترکیب ۶ به عنوان بدترین ترکیب با حذف متغیر رطوبت حداقل بوده است که مقدار آنتروپی آن ۴/۴۸۰ است. با توجه به جدول ۴ براساس حذف هر یک از متغیرها بهترین ترکیب برای ایستگاه ارزلی بعد از ترکیب ۱، ترکیب ۸ است که با حذف متغیر بارندگی به دست آمده است. بدترین ترکیب در این ایستگاه، ترکیب ۴ که با حذف دماه متوسط به دست آمده است. همان طور که گفته شد، متغیر بارندگی در این ایستگاه کم‌اثرترین متغیر است که با

جدول ۳. نتایج آزمون تئوری آنتروپی برای ایستگاه‌های سینوپتیک آستارا

ایستگاه	شماره ترکیب	متغیر حذف شده	آنتروپی مرزی	آنتروپی مشترک	آنتروپی شرطی	آنتروپی انتقال اطلاعات
	۱	-	۱۵/۸۲۶	۹/۰۶۶	۶/۴۵۳	۶/۷۶۰
	۲	دماه حداکثر	۱۳/۶۸۲	۸/۷۶۷	۶/۱۵۴	۴/۹۱۶
	۳	دماه حداقل	۱۳/۷۵۵	۸/۶۰۹	۵/۹۹۷	۵/۱۴۵
	۴	دماه متوسط	۱۳/۶۸۴	۸/۸۵۵	۶/۲۴۳	۴/۸۲۹
	۵	رطوبت حداکثر	۱۴/۸۰۸	۸/۶۸۸	۶/۰۷۵	۶/۱۲۱
بندر آستارا	۶	رطوبت حداقل	۱۳/۹۱۶	۸/۴۳۶	۵/۸۲۳	۴/۴۸۰
	۷	رطوبت متوسط	۱۴/۱۵۲	۸/۶۷۸	۶/۰۶۶	۵/۴۷۳
	۸	بارندگی	۱۵/۵۵۸	۸/۹۳۴	۶/۳۲۲	۶/۶۲۴
	۹	سرعت باد	۱۵/۱۱۵	۸/۷۰۸	۶/۰۹۵	۶/۴۰۷
	۱۰	ساعت‌های آفتابی	۱۲/۶۳۸	۷/۹۲۶	۵/۳۱۳	۵/۷۱۲

جدول ۴. نتایج آزمون تئوری آنتروپی برای ایستگاه‌های سینوپتیک انزلی

ایستگاه سینوپتیک	شماره ترکیب	متغیر حذف شده	آنتروپی مرزی	آنتروپی مشترک	آنتروپی شرطی	آنتروپی انتقال اطلاعات
بندر انزلی	۱	-	۱۵/۷۴۸	۹/۲۲۶	۶/۴۴۶	۶/۵۲۲
	۲	دماهی حداکثر	۱۳/۶۱۸	۸/۸۹۲	۶/۱۱۳	۴/۷۲۶
	۳	دماهی حداقل	۱۳/۷۰۷	۸/۸۵۰	۶/۰۷۱	۴/۸۵۶
	۴	دماهی متوسط	۱۳/۶۱۸	۹/۰۱۱	۶/۲۲۲	۴/۶۰۶
	۵	رطوبت حداکثر	۱۵/۱۳۸	۹/۰۳۷	۶/۲۵۷	۶/۱۰۱
	۶	رطوبت حداقل	۱۴/۱۰۹	۸/۶۰۶	۵/۸۲۶	۵/۵۰۳
	۷	رطوبت متوسط	۱۴/۴۳۶	۸/۸۴۷	۶/۰۶۸	۵/۵۸۹
	۸	بارندگی	۱۵/۳۳۷	۹/۰۵۳	۶/۲۷۴	۶/۲۸۳
	۹	سرعت باد	۱۴/۲۷۶	۸/۲۶۸	۵/۴۸۹	۶/۰۰۷
	۱۰	ساعت‌های آفتابی	۱۳/۵۸۲	۸/۰۱۶	۵/۲۳۶	۵/۵۶۶

جدول ۵. ترکیب‌های مشخص شده توسط تئوری آنتروپی و آزمون گاما برای هر ایستگاه سینوپتیک مطالعه شده

ایستگاه	شماره ترکیب	روش	ترکیب
رشت	۱	آنtronوپی (EN1)	همه ورودی‌ها
	۲	آنtronوپی (EN2)	همه ورودی‌ها به جز متغیر بارندگی
	۳	گاما (GT)	دماهی حداکثر، دماهی متوسط، دماهی حداقل، رطوبت حداقل، بارندگی، سرعت باد و ساعت‌های آفتابی
آستارا	۱	آنtronوپی (EN1)	همه ورودی‌ها
	۲	آنtronوپی (EN2)	همه ورودی‌ها به جز متغیر بارندگی
	۳	گاما (GT)	دماهی حداکثر، دماهی حداقل، دماهی متوسط، رطوبت حداکثر، رطوبت حداقل، رطوبت متوسط، بارندگی و ساعت‌های آفتابی
انزلی	۱	آنtronوپی (EN1)	همه ورودی‌ها
	۲	آنtronوپی (EN2)	همه ورودی‌ها به جز متغیر بارندگی
	۳	گاما (GT)	دماهی حداکثر، رطوبت حداکثر، رطوبت حداقل، بارندگی، سرعت باد و ساعت‌های آفتابی

۱ با ضریب همبستگی، مجدد میانگین مربعات خطای و ضریب نش - ساتکلیف به ترتیب برابر ۰/۹۲۱، ۰/۹۲۴ و ۰/۷۹۰ در دوره صحبت‌سنجی مقادیر پارامتر تبخیر را بهتر از سایر ترکیب‌های استفاده شده تخمین زده است.  
تخمین تبخیر در ایستگاه انزلی به ازای ترکیب‌های ۱ و ۲ نتایج بهتری نسبت به ترکیب ۳ داشته است. البته، ترکیب ۱ با مجدد میانگین مربعات خطای کمتر نسبت به دو ترکیب دیگر به عنوان ترکیب برتر در تخمین تبخیر در ایستگاه انزلی انتخاب شد. این ترکیب در دوره صحبت‌سنجی ضریب همبستگی برابر با ۰/۰۹۷، مجدد میانگین مربعات خطای برابر ۰/۰۶۲ و ضریب نش - ساتکلیف برابر ۰/۷۹۸ دارد.

مدل ماشین بردار پشتیبان (SVM) با توجه به جدول ۶ مدل ماشین بردار پشتیبان تخمین

تخمین میزان تبخیر با مدل‌های ANN و SVM  
مدل شبکه عصبی مصنوعی پرسپترون چندلایه (MLP) با توجه به جدول ۶ در تخمین تبخیر ایستگاه رشت، ترکیب‌های ۳ و ۱ عملکرد بهتری نسبت به ترکیب ۲ در مدل شبکه عصبی مصنوعی داشته‌اند. با توجه به معیارهای ارزیابی ترکیب ۳ به عنوان ترکیب برتر انتخاب شد که دارای ضریب همبستگی ۰/۸۸۸، مجدد میانگین مربعات خطای ۰/۸۸۵ و ضریب نش - ساتکلیف ۰/۷۸۵ در دوره صحبت‌سنجی بوده است. همچنین، در خور یادآوری است که ترکیب ۱ نیز نتیجه نزدیکی به ترکیب ۳ دارد.  
مدل شبکه عصبی مصنوعی به ازای ترکیب‌های ۱ و ۳ براساس مجدد میانگین مربعات خطای و ضریب نش - ساتکلیف، پارامتر تبخیر را در ایستگاه آستارا، با دقت قابل قبولی تخمین زده است. با توجه به آماره‌های ارزیابی، ترکیب

ترکیب برتر انتخاب شد. بنابراین، ترکیب ۳ مقداری آماره‌های ضریب همبستگی، مجدور میانگین مربعات خطأ و ضریب نش- ساتکلیف را در دوره صحبت‌سنجی بهترین ترتیب برابر با  $0/919$ ،  $0/922$  و  $0/768$  به دست آورده است. البته،

عملکرد ترکیب ۱ بسیار نزدیک به ترکیب ۳ بوده است. در ایستگاه سینوپتیک از لی مدل ماشین بردار پشتیبان با استفاده از ترکیب ۱ پارامتر تبخیر را با دقت مناسب‌تری نسبت به دو ترکیب دیگر تخمین زده است. مدل ماشین بردار پشتیبان با استفاده از ترکیب ۱ پارامتر تبخیر را با ضریب همبستگی، مجدور میانگین مربعات خطأ و ضریب نش- ساتکلیف به ترتیب برابر با  $0/912$ ،  $0/828$  و  $0/971$  در دوره صحبت‌سنجی تخمین زده است.

جدول ۶. نتایج مدل‌سازی ماشین بردار پشتیبان و شبکه عصبی مصنوعی

ساختار	صحبت‌سنجی						آموزش	مدل	شماره ترکیب	ایستگاه
	CC	RMSE	NS	CC	RMSE	NS				
(۹-۲-۱)	۰/۸۸۶	۰/۸۹۱	۰/۷۸۲	۰/۸۶۷	۰/۹۵۰	۰/۷۵۲	ANN-EN1	۱		
(۹-۴-۱)	۰/۸۸۵	۰/۸۹۴	۰/۷۸۰	۰/۸۶۹	۰/۹۴۴	۰/۷۵۵	ANN-EN2	۲		
(۷-۶-۱)	۰/۸۸۸	۰/۸۸۵	۰/۷۸۵	۰/۸۶۶	۰/۹۵۶	۰/۷۴۹	ANN-GT	۳		
-	۰/۸۸۰	۰/۹۱۲	۰/۷۷۱	۰/۸۷۳	۰/۹۳۰	۰/۷۶۲	SVM-EN1	۱		رشت
-	۰/۸۷۹	۰/۹۱۴	۰/۷۷۰	۰/۸۷۲	۰/۹۳۴	۰/۷۶۱	SVM-EN2	۲		
-	۰/۸۷۶	۰/۹۲۷	۰/۷۶۴	۰/۸۷۴	۰/۹۲۸	۰/۷۶۴	SVM-GT	۳		
(۹-۱۲-۱)	۰/۹۲۱	۱/۱۶۴	۰/۷۹۰	۰/۹۱۳	۰/۸۴۳	۰/۸۳۰	ANN-EN1	۱		
(۸-۱۵-۱)	۰/۹۲۰	۱/۲۱۶	۰/۷۷۰	۰/۹۱۲	۰/۸۴۰	۰/۸۳۲	ANN-EN2	۲		
(۸-۱۶-۱)	۰/۹۱۹	۱/۲۰۲	۰/۷۷۶	۰/۹۱۳	۰/۸۳۶	۰/۸۳۳	ANN-GT	۳		
-	۰/۹۲۰	۱/۲۲۵	۰/۷۶۷	۰/۹۲۱	۰/۸۰۰	۰/۸۴۷	SVM-EN1	۱		آستارا
-	۰/۹۱۷	۱/۲۴۵	۰/۷۵۹	۰/۹۱۳	۰/۸۳۵	۰/۸۳۴	SVM-EN2	۲		
-	۰/۹۱۹	۱/۲۲۲	۰/۷۶۸	۰/۹۱۵	۰/۸۲۸	۰/۸۳۷	SVM-GT	۳		
(۹-۶-۱)	۰/۸۹۷	۱/۰۶۲	۰/۷۹۸	۰/۹۱۸	۰/۹۰۶	۰/۸۴۲	ANN-EN1	۱		
(۸-۸-۱)	۰/۸۹۵	۱/۰۶۸	۰/۷۹۶	۰/۹۱۵	۰/۹۲۱	۰/۸۳۷	ANN-EN2	۲		
(۶-۵-۱)	۰/۸۸۹	۱/۰۸۹	۰/۷۸۸	۰/۹۱۲	۰/۹۳۶	۰/۸۳۱	ANN-GT	۳		انزلی
-	۰/۹۱۲	۰/۹۷۱	۰/۸۲۸	۰/۹۱۳	۰/۹۳۸	۰/۸۳۴	SVM-EN1	۱		
-	۰/۸۹۵	۱/۰۷۶	۰/۷۹۳	۰/۹۱۷	۰/۹۱۰	۰/۸۴۱	SVM-EN2	۲		
-	۰/۸۹۶	۱/۰۷۲	۰/۷۹۵	۰/۹۲۲	۰/۸۸۳	۰/۸۵۰	SVM-GT	۳		

ترکیب‌ها نشان داده است. در این ایستگاه مدل شبکه عصبی مصنوعی- تئوری آنتروپی (بدون حذف متغیر بارندگی) به عنوان مدل برتر انتخاب شده است. ترکیب انتخابی توسط آزمون گاما در ایستگاه آستارا همانند ترکیب دوم تئوری آنتروپی یک متغیر را حذف کرده، اما عملکرد بهتری نسبت به ترکیب دوم تئوری آنتروپی در هر دو مدل داشته است. در ایستگاه انزلی آزمون گاما با هر دو مدل نسبت به ترکیب انتخابی توسط تئوری آنتروپی ضعیف عمل کرده است. در این

پارامتر تبخیر را به ازای ترکیب ۱ در ایستگاه رشت با دقت زیادی انجام داده است. این مدل با استفاده از ترکیب ۱ در دوره صحبت‌سنجی مقداری آماره‌های ضریب همبستگی، مجدور میانگین مربعات خطأ و ضریب نش- ساتکلیف را به ترتیب برابر با  $0/880$ ،  $0/912$  و  $0/771$  به دست آورده است. در تخمین تبخیر در این ایستگاه، مدل ماشین بردار پشتیبان به ترتیب به ازای دو ترکیب ۲ و ۳ نتایج نسبتاً مشابهی به دست آورده است.

مدل ماشین بردار پشتیبان نیز با استفاده از ترکیب‌های ۱ و ۳، پارامتر تبخیر در ایستگاه آستارا را به خوبی تخمین زده است. ترکیب ۳ با توجه به ضریب نش- ساتکلیف و مجدور میانگین مربعات خطأ به عنوان

همان طور که در جدول ۶ مشاهده می‌شود، استفاده از ترکیب انتخابی توسط آزمون گاما برای تخمین تبخیر در ایستگاه رشت در مدل شبکه عصبی مصنوعی دقت بیشتری در تخمین تبخیر داشته است. در واقع، در ایستگاه رشت مدل شبکه عصبی مصنوعی- آزمون گاما نسبت به سایر مدل‌ها عملکرد بهتری داشته است. در ایستگاه آستارا ترکیب انتخابی توسط تئوری آنتروپی بدون حذف متغیر بارندگی در مدل شبکه عصبی مصنوعی عملکرد بهتری نسبت به سایر

آنتروپی نشان دهنده مؤثرتر بودن پارامتر مد نظر است. با توجه به شکل ۲ برای ایستگاه رشت پارامترهای مؤثر در تخمین تبخیر دمای حداکثر، دمای متوسط، ساعت‌های آفتابی، دمای حداقل، رطوبت حداقل، رطوبت متوسط و رطوبت حداکثر، بارندگی و سرعت باد به ترتیب به عنوان پارامترهای مؤثر در تخمین تبخیر شناخته شده‌اند. پارامترهای دمای حداکثر، دمای متوسط، دمای حداقل، ساعت‌های آفتابی، رطوبت متوسط، رطوبت حداقل، رطوبت حداکثر، بارندگی و سرعت باد برای ایستگاه آستارا برای تخمین تبخیر معرفی شدند. همچنین، برای ایستگاه انزلی می‌توان به ترتیب از پارامترهای دمای حداکثر، دمای متوسط، دمای حداقل، ساعت‌های آفتابی، رطوبت متوسط، رطوبت حداقل، رطوبت حداکثر بارندگی و سرعت باد به عنوان مؤثرترین پارامتر در تخمین تبخیر در این ایستگاه نام برد. تخمین تبخیر در هریک از سه ایستگاه رشت، آستارا و انزلی با استفاده از مدل‌های ANN و SVM انجام شده است که نتایج دوره تست آنها به طور خلاصه در شکل ۲ نشان داده شده است.

تقریباً، در همه شکل‌ها روند افزایش آنتروپی همراه با کاهش خطای مدل‌ها همراه بوده است. البته، در برخی موارد این روند صادق نیست که مقدار آن بسیار اندک و قابل چشم‌پوشی است. این تناقض‌ها در ایستگاه رشت بین رطوبت متوسط و رطوبت حداقل، ایستگاه آستارا دمای حداقل و ساعت‌های آفتابی و در ایستگاه انزلی بین رطوبت حداقل و رطوبت حداکثر بوده است که مقدار آنها بسیار ناچیز است. دلیل اصلی این تطابق‌نشاشتن را می‌توان تأثیر یکسان دو پارامتری که مقدار آنتروپی آنها نزدیک بهم است، دانست. بنابراین، نمی‌توان این تطابق‌نشاشتن بسیار کم را به عنوان نقصی برای عملکرد تئوری آنتروپی دانست. در خور یادآوری است که با توجه شکل ۲ در همه ایستگاه‌ها بنا بر تشخیص آنتروپی پارامتر سرعت باد کم‌ترین پارامتر شناخته شده است.

### آزمون گاما

در گام بعدی عملکرد آزمون گاما در تعیین تکوروودی برای تخمین تبخیر در سه ایستگاه رشت، آستارا و بندرانزلی ارزیابی شد. در این بخش هرچقدر مقدار پارامتر گامای یک ورودی کمتر باشد، آزمون گاما آن پارامتر را مؤثرتر در تخمین تبخیر در ایستگاه مدنظر معرفی

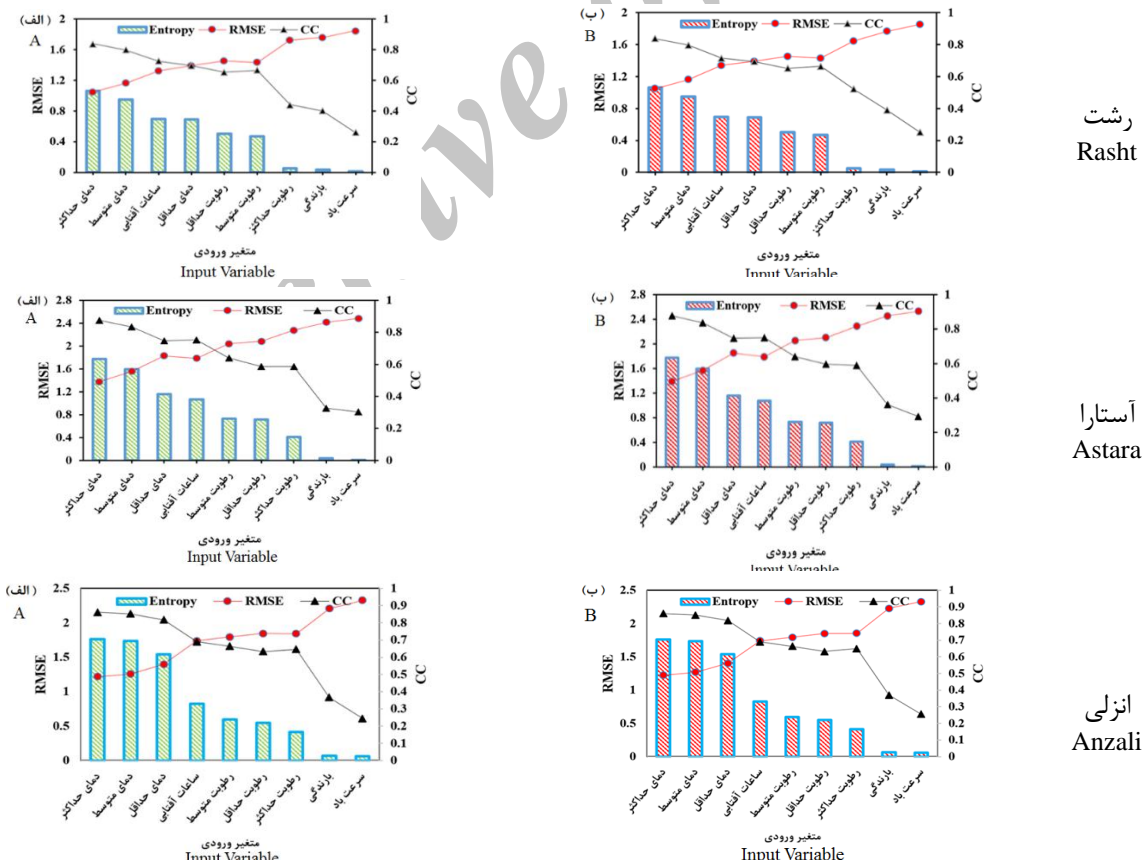
ایستگاه مدل ماشین بردار پشتیبان‌تئوری آنتروپی (بدون حذف متغیر بارندگی) به عنوان مدل برتر انتخاب شده است. در خور یادآوری است که منظور از ساختار تعیین‌شده در جدول ۶ نشان دهنده تعداد نورون‌ها در هر لایه است. برای مثال، برای ایستگاه رشت ترکیب ۱ در مدل شبکه عصبی مصنوعی ساختار (۹-۲-۱) دارد که بیان کننده ۹ ورودی، یک خروجی و تعداد ۲ نورون است که به صورت سعی و خطاب برای لایه پنهان به دست آمده است.

با توجه به جدول ۶ حذف پارامتر بارندگی در ترکیب انتخابی توسط تئوری آنتروپی سبب کاهش دقت هر دو مدل شبکه عصبی مصنوعی و ماشین بردار پشتیبان شده است، اما این کاهش دقت در مقابل کاهش پیچیدگی مدل و صرفه‌جویی که در وقت و هزینه توسط حذف این پارامتر از ترکیب می‌شود، قابل چشم‌پوشی است. در واقع، می‌توان گفت که به جای استفاده از همه متغیرها در تخمین تبخیر که توسط تئوری آنتروپی برای هر سه ایستگاه سینوپتیک انتخاب شده بود، می‌توان پارامتر بارندگی را حذف کرد و تبخیر را با دقت قابل قبولی در هر سه ایستگاه سینوپتیک تخمین زد. با توجه به جدول و موارد یادشده هر دو مدل شبکه عصبی مصنوعی و آزمون گاما در تخمین تبخیر در ایستگاه‌های انزلی، آستارا و رشت عملکرد قابل قبولی داشته‌اند. از بین دو روش انتخاب ورودی، از آزمون گاما به دلایل مدیریتی (صرفه‌جویی در وقت و هزینه، کاهش پیچیدگی مدل‌ها و...) به عنوان روش برتر نسبت به تئوری آنتروپی می‌تواند استفاده شود. در خور یادآوری است که مدل ماشین بردار پشتیبان در بخش آموزش بهتر از مدل شبکه عصبی مصنوعی عمل کرده است.

### تعیین بهترین تکوروودی با تئوری آنتروپی و آزمون گاما تئوری آنتروپی

با توجه به شکل ۲ مقدار آنتروپی انتقال اطلاعات برای تکوروودی‌های مختلف در تخمین تبخیر برای هریک از سه ایستگاه رشت، آستارا و انزلی نشان داده شده است. تکوروودی‌ها شامل دمای حداکثر، دمای حداقل، دمای متوسط، رطوبت حداکثر، رطوبت حداقل و رطوبت متوسط، بارندگی، ساعت‌های آفتابی و سرعت باد بوده است. با توجه به اینکه برای ارزیابی عملکرد تئوری آنتروپی از آنتروپی انتقال اطلاعات استفاده شده است، بنابراین افزایش مقدار این

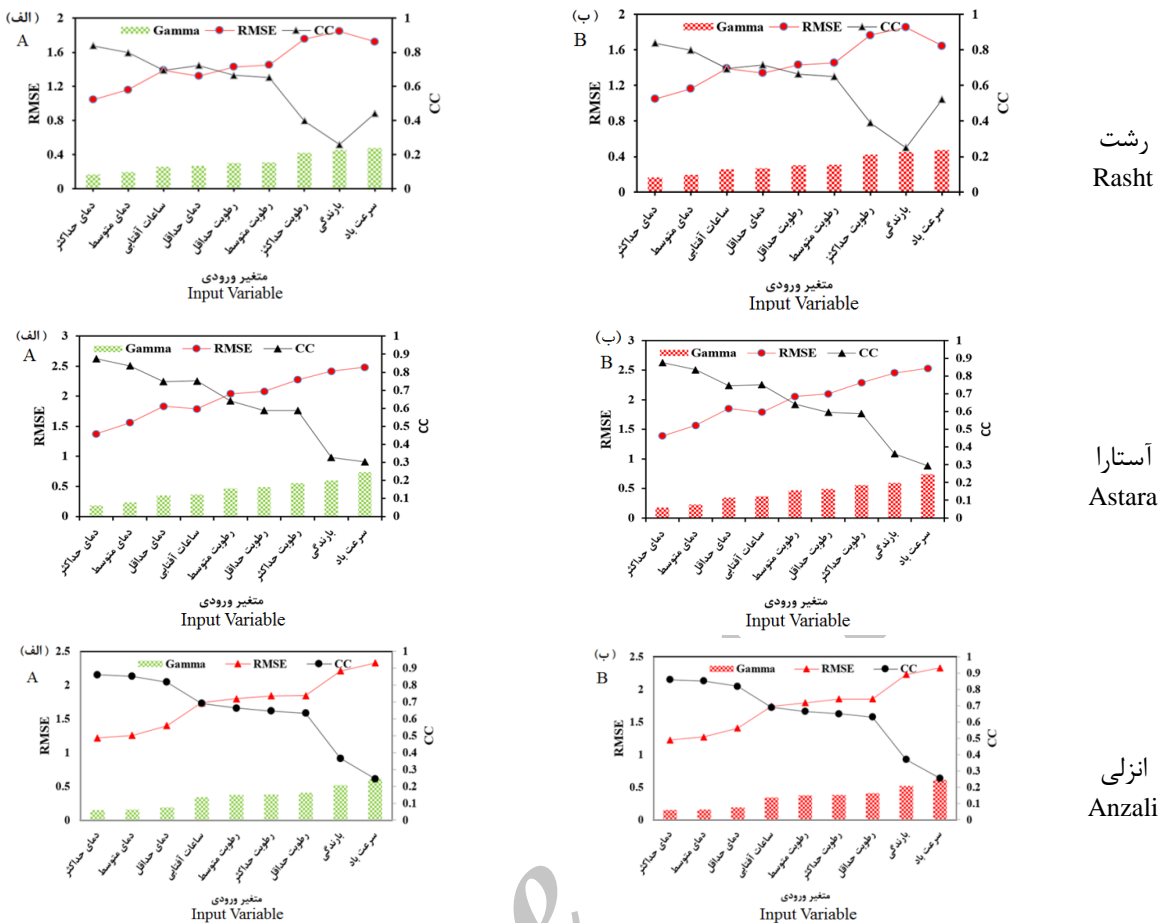
همان طور که در شکل ۳ نشان داده شده است. تقریباً با افزایش مقدار گاما، مقدار خطای تخمین هر یک از دو مدل ANN و SVM در تخمین مقدار تبخیر در ایستگاه رشت افزایش پیدا می کند. این روند افزایش خطای در کنار افزایش مقدار گاما در تخمین تبخیر در دو ایستگاه آستارا و انزلی مشهود است. با توجه به شکل ۳ نتایج کلیه تخمین ها نشان می دهد آزمون گاما حداقل در تعیین سه تکروودی اول کاملاً دقیق است. البته، نزدیکی مقدار خطای تکروودی ها نیز به علت مقدار گامای بسیار نزدیک به یکدیگر آن پارامترهاست. البته، در خور یادآوری است که در برخی مواقع روند افزایش خطای را با روند افزایش گاما هم خوانی ندارد (ایستگاه رشت در پارامترهای وسط و انتهایی، ایستگاه آستارا در پارامترهای وسط)، علت اصلی این هم خوانی نداشتن می تواند ناشی از تفاوت ساختاری مدل های به کار رفته (ANN و SVM) با آزمون گاما دانست. بنابراین، نمی توان برخی تطابق نداشتن ها در افزایش روند خطای با روند افزایش مقدار گاما را ناشی از عملکرد ضعیف آزمون گاما دانست.



شکل ۲. نتایج تک متغیر ورودی برای تئوری آنتروپی

(شکل الف مربوط به شبکه عصبی مصنوعی و شکل ب مربوط به آزمون گاماست)، (واحد RMSE میلی متر بر روز است)

می کند. بنابراین، با توجه به شکل ۳، آزمون گاما به ترتیب استفاده از تکروودی پارامترهای دمای حداکثر، دمای متوسط، ساعت های آفتابی، دمای حداقل، رطوبت حداقل، رطوبت متوسط، رطوبت حداکثر، بارندگی و سرعت باد را برای تخمین تبخیر در ایستگاه رشت پیشنهاد می دهد. آزمون گاما برای ایستگاه آستارا (به وسیله یک پارامتر ورودی) به ترتیب پارامترهای دمای حداکثر، دمای متوسط، دمای حداقل، ساعت های آفتابی رطوبت متوسط، رطوبت حداقل، رطوبت حداکثر، بارندگی و سرعت باد را پیشنهاد معرفی می کند. همچنین، برای ایستگاه انزلی، به ترتیب پارامترهای دمای حداکثر، دمای متوسط، دمای حداقل، ساعت های آفتابی، رطوبت متوسط، رطوبت حداکثر، رطوبت حداقل، بارندگی و سرعت باد را پیشنهاد می دهد. تخمین تبخیر در هریک از سه ایستگاه رشت، آستارا و انزلی با استفاده از مدل های ANN و SVM انجام شده است که نتایج دوره تست آنها به طور خلاصه در شکل ۳ نشان داده شده است.



شکل ۳. نتایج تک متغیر ورودی برای آزمون گاما

(شکل الف مربوط به شبکه عصبی مصنوعی و شکل ب مربوط به آزمون گاماست)، (واحد RMSE میلی متر بر روز است)

صحیح منابع آب، در این تحقیق سعی شد با استفاده از مدل های شبکه عصبی مصنوعی و ماشین بردار پشتیبان مقادیر تبخیر در سه ایستگاه رشت، آستانه و بندر انزلی واقع در استان گیلان تخمین زده شود. به این منظور، از دو روش تئوری آنتروپی و آزمون گاما در بخش اول برای انتخاب ترکیب مؤثر استفاده شد. پارامترهای انتخابی توسط روش آزمون گاما در ایستگاه رشت دمای حداکثر، دمای متوسط، دمای حداقل، رطوبت حداقل، بارندگی، سرعت باد و ساعت های آفتابی، ایستگاه آستانه دمای حداکثر، دمای حداقل، دمای متوسط، رطوبت حداقل، رطوبت حداقل، رطوبت حداقل، رطوبت متوسط، بارندگی و ساعت های آفتابی و برای ایستگاه انزلی دمای حداکثر، رطوبت حداقل، رطوبت حداقل، بارندگی، سرعت باد و ساعت های آفتابی انتخاب شدند. در روش تئوری آنتروپی همه متغیرها در هر سه ایستگاه به عنوان متغیرهای ورودی به

با توجه به شکل های ۲ و ۳ می توان گفت که پارامتر دمای حداکثر به عنوان مؤثر ترین پارامتر توسط هر دو روش آزمون گاما و تئوری آنتروپی در تخمین تبخیر برای هر سه ایستگاه شناخته شده است. البته، در خور یادآوری است که تبخیر به عواملی غیر از دما نیز وابسته است. با توجه به شکل های ۲ و ۳ و عملکرد دو روش آزمون گاما و تئوری آنتروپی در تعیین تک ورودی مؤثر، می توان تئوری آنتروپی را به عنوان روش برتر در ایستگاه رشت و روش آزمون گاما را برای ایستگاه انزلی انتخاب کرد. برای ایستگاه آستانه هر دو روش یکسان عمل کرده اند. بنابراین، بسته به منطقه مطالعه شده این دو روش عملکرد متفاوتی دارند. در کل، هر دو روش سه تک ورودی اول را به خوبی تشخیص داده اند.

### نتیجه گیری

با توجه به اهمیت اطلاع از میزان تبخیر در مدیریت

- models. *Water Science and Technology*. 2017:wst2017234.
- [6]. Seifi A, Mirlatifi M, Reahi H. Introduction and application of Least Square Support Vector Machine (LSSVM) for simulation of reference evaporation and uncertainty analysis of results, a case study fo the Kerman city. *Irrigation & Water Engineering*. 2013; 13 (5):67-78. (In Persian)
- [7]. Kim S, Shiri J, Kisi O, Singh VP. Estimating daily pan evaporation using different data-driven methods and lag-time patterns. *Water resources management*. 2013; 27(7):2267-86.
- [8]. Goyal MK, Bharti B, Quilty J, Adamowski J, Pandey A. Modeling of daily pan evaporation in sub-tropical climates using ANN, LS-SVR, Fuzzy Logic, and ANFIS. *Expert systems with applications*. 2014; 41(11):5267-76.
- [9]. Tezel G, Buyukyildiz M. Monthly evaporation forecasting using artificial neural networks and support vector machines. *Theoretical and applied climatology*. 2016; 124(1-2):69-80.
- [10]. Kisi O. Pan evaporation modeling using least square support vector machine, multivariate adaptive regression splines and M5 model tree. *Journal of Hydrology*. 2015; 528:312-20.
- [11]. Kisi O, Genc O, Dinc S, Zounemat-Kermani M. Daily pan evaporation modeling using chi-squared automatic interaction detector, neural networks, classification and regression tree. *Computers and Electronics in Agriculture*. 2016; 122:112-7.
- [12]. Keshtegar B, Piri J, Kisi O. A nonlinear mathematical modeling of daily pan evaporation based on conjugate gradient method. *Computers and Electronics in Agriculture*. 2016; 127:120-30.
- [13]. Sharifi A.R, Dinپashih Y, Fahkerifard A, Moghadamnia, AR. Optimum combination of variables for runoff simulation in Amameh Watershed using Gamma Test, *Journal of Soil and Water*. 2013; 23(3):72-59. (In Persian)
- [14]. Durrant PJ. winGamma: A non-linear data analysis and modelling tool with applications to flood prediction. Unpublished PhD thesis, Department of Computer Science, Cardiff University, Wales, UK. 2001 Jun 25.
- [15]. Evans D, Jones AJ. A proof of the Gamma test. InProceedings of the Royal Society of London a: Mathematical, Physical and Engineering Sciences 2002 Nov 8 (Vol. 458, No. 2027, pp. 2759-2799). The Royal Society.
- [16]. Shannon C. E, & Weaver W, Urban:University of Illinois Press; 1949.
- مدل انتخاب شدند. با توجه به اینکه در روش تئوری آنتروپی با حذف متغیر بارندگی میزان آنتروپی انتقال اطلاعات تغییر چندانی نسبت به ترکیب اول رخ نداده است، بنابراین یک ترکیب دیگر توسط تئوری آنتروپی انتخاب شد. در ترکیب دوم انتخابی توسط تئوری آنتروپی متغیر بارندگی حذف شده است.
- نتایج مدل سازی نشان داد در ایستگاه رشت، مدل شبکه عصبی منصوعی-آزمون گاما، در ایستگاه آستارا شبکه عصبی منصوعی- تئوری آنتروپی (بدون حذف متغیر بارندگی) و برای ایستگاه انزلی ماشین بردار پشتیبان- تئوری آنتروپی (بدون حذف متغیر بارندگی) را می‌توان به عنوان مدل‌های برتر نام برد. در بخش دوم قدرت تئوری آنتروپی و آزمون گاما در تعیین تکروه‌ی ارزیابی شد. براساس نتایج، می‌توان تئوری آنتروپی را به عنوان روش برتر در ایستگاه رشت و روش آزمون گاما را برای ایستگاه انزلی انتخاب کرد. برای ایستگاه آستارا هر دو روش یکسان عمل کرده‌اند. بنابراین، بسته به منطقه مطالعه شده این دو روش عملکرد متفاوتی دارند. در کل، هر دو روش سه تکروه‌ی اول را به خوبی تشخیص داده‌اند. در نهایت، با توجه به اینکه روش آزمون گاما از لحاظ مدیریتی نسبت به تئوری آنتروپی عملکرد بهتری داشته (با تعداد کم و روی عملکرد قابل قبول داشته است) و همچنین در تخمین تبخیر نیز عملکرد قابل قبولی داشته است.
- ### منابع
- [1]. Ejlali F, Weather and climatology. Iran: Payamnoor University Press; 2004. (In Persian)
  - [2]. Nourani V, Baghanam AH, Adamowski J, Kisi O. Applications of hybrid wavelet-Artificial Intelligence models in hydrology: A review. *Journal of Hydrology*. 2014; 514:358-77.
  - [3]. Ahmadi A, Han D, Karamouz M, Remesan R. Input data selection for solar radiation estimation. *Hydrological processes*. 2009; 23(19):2754-64.
  - [4]. Moghaddamnia A, Gousheh MG, Piri J, Amin S, Han D. Evaporation estimation using artificial neural networks and adaptive neuro-fuzzy inference system techniques. *Advances in Water Resources*. 2009; 32(1):88-97.
  - [5]. Sharifi A, Dinپashoh Y, Mirabbasi R. Daily runoff prediction using the linear and non-linear

- [17]. Dawson CW, Abrahart RJ, Shamseldin AY, Wilby RL. Flood estimation at ungauged sites using artificial neural networks. *Journal of hydrology*. 2006; 319(1):391-409.
- [18]. Harmancioglu NB, Alpaslan N. WATER QUALITY MONITORING NETWORK DESIGN: A PROBLEM OF MULTI-OBJECTIVE DECISION MAKING. *JAWRA Journal of the American Water Resources Association*. 1992; 28(1):179-92.
- [19]. Coulibaly P, Anctil F, Bobee B. Daily reservoir inflow forecasting using artificial neural networks with stopped training approach. *Journal of Hydrology*. 2000; 230(3):244-57.
- [20]. ASCE Task Committee. Artificial neural networks in hydrology. I: Preliminary concepts. *Journal of Hydrologic Engineering*. 2000; 5(2):115-23.
- [21]. Kavzoglu T, Colkesen I. A kernel functions analysis for support vector machines for land cover classification. *International Journal of Applied Earth Observation and Geoinformation*. 2009; 11(5):352-9.
- [22]. Nash J.E, Sutcliffe I.V. River flow forecasting through conceptual models, Part I, A discussion of principles, *Journal of Hydrology*. 1970; 10(2):282-290.

Archive of SID